

hạch di căn $2,3 \pm 1,7$. Tác giả Baek JH [1] và cộng sự năm 2011 nghiên cứu trên 33 bệnh nhân phẫu thuật robot ung thư trực tràng có hóa xạ trị tiền phẫu thì tổng số hạch thu được là 13,1 (3–33). Theo tác giả Đài Loan Tzu-Chun Chen và cộng sự [6] năm 2022, nghiên cứu 76 bệnh nhân mổ robot sau hóa xạ trị tiền phẫu thì tổng số hạch trung bình thu được là $15,8 \pm 9,5$, trong đó số hạch di căn là $1,2 \pm 2,3$.

Thời gian theo dõi trung bình của chúng tôi ngắn 9,7 tháng, ngắn nhất là 5 tháng và lâu nhất là 17 tháng. Không có trường hợp nào tái phát tại vị trí các port đặt các cánh tay robot. Chúng tôi cũng chưa ghi nhận trường hợp nào tái phát tại chỗ hay tử vong, hiện tại chúng tôi vẫn tiếp tục theo dõi nhóm bệnh nhân này. Tác giả Wenju Chang [8] và cộng sự năm 2020, nghiên cứu trên 1034 bệnh nhân phẫu thuật robot ung thư trực tràng theo dõi trung bình 34,6 tháng tỷ lệ tái phát tại chỗ 2,3%, tỷ lệ tái phát di căn xa 21,1%, tỷ lệ sống toàn bộ (OS: overall survival) sau 3 năm 87,2% và tỷ lệ sống không bệnh (DFS: disease-free survival) sau 3 năm là 81%.

V. KẾT LUẬN

Phẫu thuật ung thư trực tràng sau hóa xạ trị tiền phẫu bằng robot cho thấy sự an toàn, khả thi và bước đầu mang lại kết quả tốt cho bệnh nhân với khả năng phẫu tích tốt trong không gian chật hẹp của vùng chậu, phục hồi nhanh sau phẫu thuật, không có những biến chứng nghiêm trọng, thêm một lựa chọn tốt cho bệnh

nhân cũng như phẫu thuật viên.

TÀI LIỆU THAM KHẢO

1. **Baek JH, Pastor C, Pigazzi A.** (2011). Robotic and laparoscopic total mesorectal excision for rectal cancer: a case-matched study. *Surg Endosc* (25), pp.521–525.
2. **Jayne D., Pigazzi A., Marshall H., et al** (2017). Effect of robotic-assisted vs conventional laparoscopic surgery on risk of conversion to open laparotomy among patients undergoing resection for rectal cancer the rolarr randomized clinical trial. *JAMA - J Am Med Assoc*, 318(16), pp.1569–1580.
3. **Nasir M, Ahmed J et al** (2016). Learning Curves in Robotic Rectal Cancer Surgery: A literature Review. *J Min im Invasive Surg Sci*, 5(4): e41196
4. **Pigazzi A. et al** (2010). Multicentric Study on Robotic Tumor-Specific Mesorectal Excision for the Treatment of Rectal Cancer. *Ann Surg Oncol*, 17(6), pp.1614-1620.
5. **Ramos J.R., Miranda A.D., Torres W. et al** (2014). Four-arm single docking full robotic surgery for low rectal cancer: techniques and post-operative outcomes. *J Coloproctology*, 34(2), pp.87–94.
6. **Tzu-Chun Chen, Jin-Tung Liang** (2022). Robotic versus laparoscopic surgery for rectal cancer after neoadjuvant chemoradiotherapy: A propensity-score matching analysis. *Journal of the Formosan Medical Association* 12, pp.1532-1540.
7. **Yong Sok Kim et al** (2015). Robotic Versus Laparoscopic Surgery for Rectal Cancer after Preoperative Chemoradiotherapy: Case-Matched Study of Short-Term Outcomes. *Cancer Res Treat*, pp.1-7.
8. **Wenju Chang et al** (2020). Short-term and long-term outcomes of robotic rectal surgery—from the real world data of 1145 consecutive cases in China. *Surgical Endoscopy*, (34), pp.4079–4088.

NGHIÊN CỨU THÀNH PHẦN HÓA HỌC PHÂN ĐOẠN ETHYL ACETAT CỦA CÂY NGHỄ BỤI (POLYGONUM POSUMBU BUCH.-HAM. EX D. DON)

Nguyễn Việt Dũng¹

TÓM TẮT

Nghễ bụi (*Polygonum posumbu* Buch.-Ham. ex D. Don) là loài cỏ dại mọc nơi đất ẩm ven rừng, ven suối, bờ sông ngòi. Theo kinh nghiệm dân gian loài cây này được sử dụng để trị lỵ, viêm dạ dày ruột, tiêu chảy, phong thấp. Trong nghiên cứu về thành phần hóa thực vật bằng các phương pháp sắc ký đã thu được 4 hợp chất phân lập từ phần đoạn ethyl acetat của cây Nghễ bụi và được xác định lần lượt là acid gallic,

myricetin, distichin, quercitrin. Trong đó 3 hợp chất myricetin, distichin, quercitrin lần đầu tiên được phân lập từ loài *P. posumbu*; distichin lần đầu tiên được phân lập trong chi *Polygonum*.

Từ khóa: *Polygonum posumbu*, acid gallic, myricetin, distichin, quercitrin

SUMMARY

STUDY ON CHEMICAL CONSTITUENTS FROM THE ETHYL ACETATE EXTRACT OF *POLYGONUM POSUMBU* BUCH.-HAM. EX D. DON

Polygonum posumbu Buch.-Ham. ex D. Don is a weed that grows in moist soils along forests, rivers. According to traditional knowledge, this plant has been used to treat dysentery, gastroenteritis, diarrhea, rheumatism. In the study on chemical constituents using chromatographic methods, 4 isolated

¹Trường Đại Học Y Dược Buôn Ma Thuột
Chịu trách nhiệm chính: Nguyễn Việt Dũng
Email: nvdung@bmtvietnam.com
Ngày nhận bài: 21.3.2023
Ngày phản biện khoa học: 12.5.2023
Ngày duyệt bài: 29.5.2023

compounds have been obtained from the ethyl acetate fraction of *P. posumbu*, namely gallic acid, myricetin, distichin and quercitrin. Among them, myricetin, distichin and quercitrin have been isolated for the first time from *P. posumbu* and distichin has been isolated for the first time in the genus *Polygonum*.

Keywords: *Polygonum posumbu*, acid gallic, myricetin, distichin, quercitrin

I. ĐẶT VẤN ĐỀ

Chi *Polygonum* với khoảng 300 loài phân bố rộng rãi toàn cầu chủ yếu là vùng ôn đới ở bắc bán cầu. Từ xa xưa đã được sử dụng rất nhiều các bài thuốc y học cổ truyền phương Đông. Nhiều loài trong số đó đã được đưa vào Dược Điển Trung Quốc như: *Polygonum cuspidatum*, *Polygonum multiflorum*,...

Nghế bụi (*Polygonum posumbu*) là một loài thuộc chi *Polygonum* mọc nơi đất ẩm ven rừng, ven suối, bờ sông ngòi, mương rạch, ruộng bỏ hoang, phân bố nhiều ở Trung Quốc, Ấn Độ, Việt Nam^[1]. Tại Vân Nam (Trung Quốc) theo kinh nghiệm dân gian người ta thường dùng toàn cây trị lý, viêm dạ dày ruột, tiêu chảy, phong thấp, đau xương khớp, trị rắn cắn, mẫn ngứa ngoài da^[2]. Tuy nhiên, hiện có rất ít những công trình nghiên cứu về thành phần hóa học và tác dụng sinh học của cây này. Do đó, để hiểu rõ hơn về thành phần hóa học và các hoạt chất liên quan nhằm nâng cao giá trị sử dụng của dược liệu, nghiên cứu này được thực hiện với mục tiêu chiết xuất, phân lập và xác định cấu trúc của một số hợp chất từ phân đoạn ethyl acetat của cây Nghế bụi (*Polygonum posumbu* Buch.-Ham. ex D. Don).

II. ĐỐI TƯỢNG VÀ PHƯƠNG PHÁP NGHIÊN CỨU

Đối tượng nghiên cứu. Nguyên liệu là toàn cây *Polygonum posumbu* thu hái tại Quảng Nam vào tháng 3 năm 2019. Mẫu được định danh bằng phương pháp giải trình tự ADN kết hợp với so sánh và đối chiếu khảo sát đặc điểm hình thái với khóa phân loại chi và loài trong Thực Vật Chí Việt Nam^[1]. Mẫu được sấy khô, bảo quản trong bao bì kín và lưu tại Bộ môn Dược liệu, Khoa Dược, Đại học Y Dược TP. Hồ Chí Minh

Phương pháp nghiên cứu

Chiết xuất và phân lập. Bột dược liệu khô (6,5 kg) được chiết ngấm kiệt bằng cồn 80%. Sau khi cô thu hồi dung môi thu được 3,8 lít cao cồn toàn phần, để lạnh loại chlorophyll. Sau đó tiến hành lắc phân bố với các dung môi có độ phân cực tăng dần: n-hexan, cloroform, ethyl acetat. Thu hồi dung môi dưới áp suất giảm thu được 1,7 g cao n-hexan; 18,2 g cao cloroform kèm 1 tủa có khối lượng 42 mg; 149 g cao ethyl

acetat và 568,3 g cao nước. Cao ethyl acetat (50g) được tiến hành sắc ký cột nhanh, thu được 10 phân đoạn (E1-E10). Phân đoạn E5 thu hồi dung môi dưới áp suất giảm, xuất hiện tủa màu trắng ngà có khối lượng 142,5 mg đặt tên là E5T; tiếp tục phân tách E5 bằng cột Sephadex LH-20 thu được 5 phân đoạn (E5T1-E5T4). Phân đoạn E5T2 cô thu hồi dung môi tới cạn, sau đó hòa tan với một lượng tối thiểu ethyl acetat, lọc qua bông thu dịch lọc, để bay hơi dung môi ở nhiệt độ phòng thấy xuất hiện kết tinh, lọc và rửa nhiều lần với cloroform thu được PPE5 (26 mg). Phân đoạn E5T4 cô thu hồi dung môi đến cạn, hòa tan cạn với một lượng tối thiểu ethyl acetat, lọc qua bông thu dịch lọc, để bay hơi dung môi ở nhiệt độ phòng thấy xuất hiện kết tinh, lọc và rửa nhiều lần với cloroform thu được PPE6 (5mg). Phân đoạn E9 thu hồi dung môi đến 1/5 thể tích, sau đó để bay hơi tự nhiên xuất hiện tủa. Lọc tủa qua phễu thủy tinh xốp, rửa bằng cloroform, thu được bột vô định hình màu vàng ngà, đặt tên là PPE7 (3 mg).

Phân đoạn E11 thu hồi dung môi xuất hiện tủa, lọc qua phễu thủy tinh xốp, rửa nhiều lần với cloroform. Sau đó hòa tan lại trong methanol, để bay hơi ở nhiệt độ phòng xuất hiện kết tinh, lọc qua phễu thủy tinh xốp và rửa bằng MeOH lạnh thu được bột vô định hình màu vàng đặt tên là PPE11 (78 mg).

III. KẾT QUẢ NGHIÊN CỨU

PPE5: Bột vô định hình màu trắng ngà. Phổ ESI-MS cho phân mảnh có m/z 168,71 [M-H]⁻ gợi ý công thức phân tử là C₇H₆O₅ (M = 170) (Ω = 5). Phổ ¹H-NMR xuất hiện 4 tín hiệu, trong đó 1 tín hiệu của -COOH (δ_H 12,26 s), 3 tín hiệu còn lại của nhóm -OH phenol δ_H 8,86 (1H, s); 9,21 (2H, s). Phổ ¹³C-NMR có 5 tín hiệu C với δ_C > 100 ppm. Trong đó 1 tín hiệu Csp², 2 tín hiệu C bậc IV gắn với oxy thuộc vòng thơm, 1 nhóm -COOH. Kết hợp các dữ liệu phổ và so sánh với tài liệu tham khảo^[3], PPE5 được xác định là **acid gallic** (dữ liệu phổ được trình bày ở bảng 1 và bảng 2).



Hình 2. Cấu trúc hóa học và các tương tác

HMBC của hợp chất PPE5

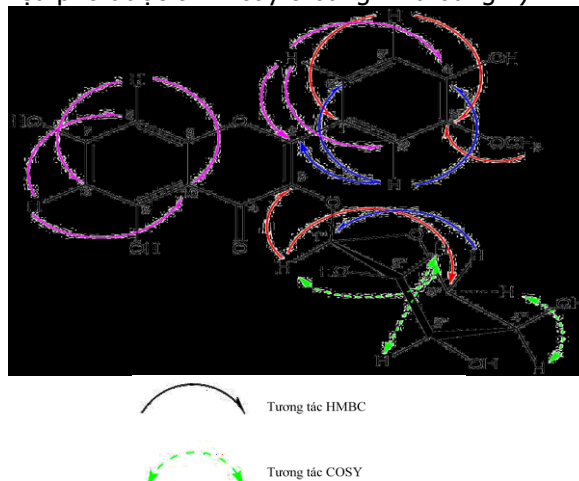
PPE6: Bột vô định hình màu vàng. Phổ ESI-MS cho phân mảnh có m/z 317,09 [M-H]⁻ gợi ý công thức phân tử là C₁₅H₁₀O₈ (M = 318) (Ω = 11). Phổ ¹H-NMR có 2 tín hiệu proton ghép cặp meta trên vòng A tại δ_H 6,18 (1H, d, J = 2 Hz) và 6,37 (1H, d, J = 2 Hz). Tín hiệu proton tại 7,27 s có số tích phân là 2H tương ứng gắn với vị trí C-2', C-6' đối xứng trên vòng B của khung cấu trúc; 5 tín hiệu proton trong cấu trúc -OH phenol ở vùng δ_H > 8,5 ppm trong đó tín hiệu của 5-OH có dạng singlet đỉnh nhọn ở vị trí δ_H 12,52. Phổ ¹³C-NMR của PPE6 có 13 tín hiệu cộng hưởng; kết hợp phổ proton và HSQC xác định cấu trúc có đối xứng. Do đó PPE6 có 15C, tín hiệu downfield nhất 176,2 ppm. Khả năng PPE3 có khung cấu trúc flavonol và đối xứng ở vòng B với 3 nhóm thế -OH trong đó 8 tín hiệu C bậc IV có gắn với oxy ở vùng trường thấp (δ_C > 136 ppm), 2 tín hiệu C bậc IV vòng thơm ảnh hưởng hiệu ứng ortho, para trong cấu trúc có δ_C 103,4 và 121,2 tương ứng C10, C1'; 3 tín hiệu Csp² của vòng thơm (δ_C 93,6; 98,6; 107,6). Kết hợp các dữ liệu phổ và so sánh với tài liệu tham khảo [5], PPE6 được xác định là **myricetin** (dữ liệu phổ được trình bày ở bảng 1 và bảng 2).



Hình 3. Cấu trúc hóa học và các tương tác HMBC của hợp chất PPE6

PPE7: Bột vô định hình màu vàng. Phổ MS kỹ thuật ion hóa (-)-APCI cho phân mảnh có m/z 447,10 [M-H]⁻ gợi ý công thức phân tử là C₂₁H₂₀O₁₁ (M = 448) (Ω = 12). Trên Phổ ¹H-NMR có 3 tín hiệu proton thuộc hệ tương tác ABX δ_H 7,91 (1H, d, J = 2,1 Hz), 7,58 (1H, dd, J = 8,4; 2,1 Hz), 6,92 (1H, d, J = 8,4 Hz) thuộc vòng B. Hai tín hiệu proton ghép cặp meta trên vòng A tại δ_H 6,20 (1H, d, J = 2,1 Hz) và 6,45 (1H, d, J = 2,1 Hz). Phần đường có tín hiệu multiplet tại vùng 3,29 - 3,72; tín hiệu H anomer cộng hưởng ở vị trí 5,34 d (J = 6,0 Hz). Phổ ¹³C-NMR của PPE7 có 21 tín hiệu cộng hưởng; trong đó 1 tín hiệu của nhóm methoxy (-OCH₃) tại vị trí 56,3 ppm; 15 tín hiệu C của vòng thơm

với tín hiệu downfield nhất δ_C 177,8; do đó nhận định PP7 có khung flavonol, 4 vị trí cộng hưởng ở vùng 60-80 ppm và 1 tín hiệu ở 102,0 ppm nên PPE7 là hợp chất flavonol glycosid có phần đường 5 C pentose liên kết qua dây nối O-glycosid. Kết hợp các dữ liệu phổ và so sánh với tài liệu tham khảo [4], xác định PPE7 là **distichin** (isorhamnetin 3-O-α-L-arabinopyranosid). (dữ liệu phổ được trình bày ở bảng 1 và bảng 2).

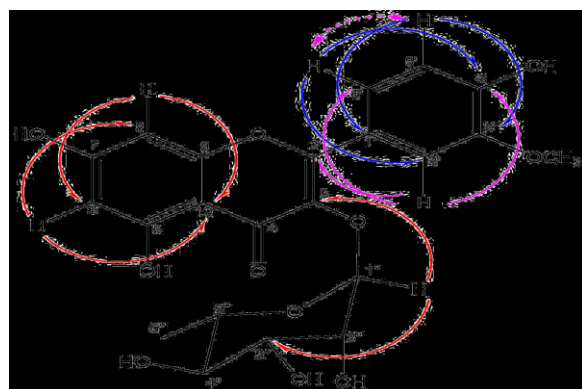


Hình 4. Cấu trúc hóa học và các tương tác HMBC của hợp chất PPE7

PPE11: Bột vô định hình màu vàng. Phổ MS kỹ thuật ion hóa (-)-ESI cho phân mảnh có m/z 447,05 [M-H]⁻ gợi ý công thức phân tử là C₂₁H₂₀O₁₁ (M = 448) (Ω = 12). Phổ ¹³C-NMR của PPE11 có 21 tín hiệu cộng hưởng; trong đó 15 tín hiệu C của vòng thơm với tín hiệu downfield nhất δ_C 178,2; do đó nhận định PP7 có khung flavonol, 4 vị trí cộng hưởng ở vùng 60-80 ppm, 1 tín hiệu CH₃ ở δ_C 18,0 và 1 tín hiệu ở 102,2 ppm đặc trưng cho đường rhamnopyranose. Do đó PPE11 là hợp chất flavonol glycosid có phần đường là liên kết qua dây nối O-glycosid. Phổ ¹H-NMR, phần aglycon PPE11 có 3 tín hiệu proton thuộc hệ tương tác ABX δ_H 7,30 (1H, d, J = 2,2 Hz), 7,26 (1H, dd, J = 8,3; 2,3 Hz), 6,87 (1H, d, J = 8,3 Hz) thuộc vòng B. Hai tín hiệu proton ghép cặp meta trên vòng A tại δ_H 6,21 (1H, d, J = 2,0 Hz) và 6,40 (1H, d, J = 2,0 Hz). Phần đường có tín hiệu ở vùng trường cao (3,15 - 3,97 ppm); proton của nhóm -CH₃ cộng hưởng ở 0,81 ppm, tín hiệu H anomer có δ_H 5,34 (1H, d, J = 1,6 Hz). Do đó rhamnose có cấu trúc α-L-rhamnose. Từ các kết quả trên và đối chiếu với dữ liệu phổ đã được báo cáo trước đó [6], xác định PPE11 là **quercitrin**

Bảng 1. Dữ liệu phổ ^1H NMR (400 MHz, DMSO) của PPE5, PPE6, PPE7 và PPE11

Vị trí C	PPE 6		PPE 7		PPE 11		Vị trí C	PPE 5	
	δ_{H} , m, (J,Hz)	HMBC	δ_{H} , m, (J,Hz)	HMBC	δ_{H} , m, (J,Hz)	HMBC		δ_{H} , m, (J,Hz)	HMBC
2							1		
3							2	6,92 s	1, 3, 4, 6, 7
4							3		
5							4		
6	6,18 d (2)	5, 7, 8, 10	6,20 d (2,1)	8, 10	6,21 d (2,0)	8, 10, 5, 7	5		
7	-	-	-	-	-	-	6	6,92 s	1, 2, 4, 5, 7
8	6,37 d (2)	4, 6, 7, 9, 10	6,45 d (2,1)		6,40 d (2,0)	6, 10	7		
9							3-OH	9,21 s	2, 4
10							4-OH	8,86 s	
1'							5-OH	9,21 s	4, 6
2'	7,24 s	2, 1', 4', 6'	7,91 d (2,1)	2, 3', 4', 6'	7,30 d (2,2)	4', 6'	COOH	12,26 s	
3'									
4'									
5'			6,92 d (8,4)	1', 3'	6,87 d (8,3)	1', 3', 6'			
6'	7,24 s	2, 1', 4', 2'	7,58 dd (8,4; 2,1)	2', 4'	7,26 dd (8,3; 2,2)	2', 4'			
1''			5,34 d (6,0)	3	5,25 d (1,6)	3, 3''			
2''			3,72 m		3,97 s				
3''			3,50 m		3,49 m				
4''			3,66 m		3,15 m				
5''			3,29 m		3,22 m				
6''					0,81 d (6)	4''			
3-OH	9,38 s								
5-OH	12,52 s	5, 6, 10	12,62 s		12,67 s				
3'-OCH ₃			3,87 s	3'					

**Hình 5. Cấu trúc hóa học và các tương tác HMBC của hợp chất PPE11****Bảng 2. Dữ liệu phổ ^{13}C NMR (100 MHz, DMSO) của PPE5, PPE6, PPE7 và PPE11**

Vị trí C	PPE 6	PPE 7	PPE 11	Vị trí C	PPE 5
	δ_{C}	δ_{C}	δ_{C}	trí C	δ_{C}

2	147,3	156,6	156,9	1	120,8
3	136,3	133,8	134,6	2	109,1
4	176,2	177,8	178,2	3	145,9
5	161,2	161,6	161,7	4	138,4
6	98,6	99,3	99,2	5	145,9
7	164,3	164,7	164,6	6	109,1
8	93,6	94,2	94,1	7	167,9
9	156,5	156,8	157,8		
10	103,4	104,2	104,5		
1'	121,2	121,3	121,2		
2'	107,6	113,6	115,9		
3'	146,2	147,5	145,6		
4'	136,3	150,0	148,9		
5'	146,2	115,7	116,1		
6'	107,6	122,7	121,6		
1''		102,0	102,2		
2''		71,4	70,5		
3''		72,3	71,1		

4''		67,1	71,6		
5''		65,6	70,8		
6''			18,0		
3'-OCH ₃		56,3			

IV. KẾT LUẬN

4 hợp chất đã được phân lập từ phân đoạn ethyl acetat của cây Nghể bụi (*Polygonum posumbu* Buch.-Ham. ex D. Don) và được xác định lần lượt là acid gallic, myricetin, distichin, quercitrin. Trong đó 3 hợp chất myricetin, distichin, quercitrin lần đầu tiên được phân lập từ loài *P. posumbu*; distichin lần đầu tiên được phân lập trong chi *Polygonum*.

TÀI LIỆU THAM KHẢO

1. Nguyễn Thị Đo (2007), Thực vật chí Việt Nam, NXB. KH & KT, Tập 11, tr 180-181.

2. Võ Văn Chi (2012), Từ điển cây thuốc Việt Nam, Tập 2, Nhà xuất bản Y học.
3. Eldahshan Omayma A (2011), "Isolation and structure elucidation of phenolic compounds of carob leaves grown in Egypt", *Curr Res J Biol Sci.* 3 (1), 52-55.
4. Ma Ying-Li, Lei Zhen-Huan, Kong Qi et al. (1999), "Studies of flavone glycosides of *Erysimum cheiranthoides* L", *Studies in Plant Science*, Elsevier, 302-304.
5. Mohammed Abd El-Salam I (2015), "Phytoconstituents and the study of antioxidant, antimalarial and antimicrobial activities of *Rhus tripartita* growing in Egypt", *Journal of Pharmacognosy and Phytochemistry.* 4 (2), 276-281.
6. Zhang Yajuan, Wang Dongmei, Yang Lina et al. (2014), "Purification and characterization of flavonoids from the leaves of *Zanthoxylum bungeanum* and correlation between their structure and antioxidant activity", *PloS one.* 9 (8), e105725.

ĐÁNH GIÁ KẾT QUẢ ĐIỀU TRỊ BẰNG THUỐC Ở BỆNH NHÂN TRẦM CẢM TẠI HUYỆN HƯNG HÀ TỈNH THÁI BÌNH NĂM 2021 -2022

Lê Minh Ngọc*, Nguyễn Văn Ngọc*,
Nguyễn Đăng Thương*, Nguyễn Thị Hồi*

TÓM TẮT

Trầm cảm là một rối loạn tâm thần phổ biến mang lại gánh nặng bệnh tật nhiều nhất, gây tổn thất hàng đầu về chi phí y tế trên thế giới. Tại Việt Nam, chương trình Quốc gia về chăm sóc sức khỏe tâm thần cộng đồng đã được triển khai trên cả nước nhằm phát hiện, điều trị và quản lý các rối loạn tâm thần tại cộng đồng nhưng chưa được phủ kín toàn bộ. Tại địa bàn tỉnh Thái Bình đã có một số nghiên cứu về rối loạn trầm cảm, tuy nhiên những nghiên cứu này tập trung nghiên cứu yếu mô tả một số yếu tố dịch tễ và đặc điểm lâm sàng rối loạn trầm cảm, chưa có nghiên cứu can thiệp điều trị tại cộng đồng, vì vậy chúng tôi tiến hành nghiên cứu đề tài này: "Đánh giá kết quả điều trị bằng thuốc ở bệnh nhân trầm cảm tại huyện Hưng Hà tỉnh Thái Bình năm 2021-2022". **Mục tiêu:** "Đánh giá kết quả điều trị bằng thuốc ở bệnh nhân trầm cảm tại huyện Hưng Hà tỉnh Thái Bình". **Đối tượng và phương pháp nghiên cứu:** nghiên cứu can thiệp cộng đồng trên 278 bệnh nhân tuổi từ 18 – 60 tuổi (xã Tân Lễ: 178 bệnh nhân; xã Điệp Nông: 100 bệnh nhân) được can thiệp bằng thuốc chống trầm cảm trong 6 tháng, từ tháng 2/2021 đến tháng 11/2022. **Kết quả:** Liều trung bình sử dụng Amitriptylin là 41,12 ± 15,43 mg/BN/ngày trong đó liều dùng thấp nhất là

12,5 mg/BN/ngày, liều dùng cao nhất là 75mg/BN/ngày. Liều sử dụng trung bình Fluoxetin là 38,30 ± 15,88 mg/BN/ngày, trong đó liều dung cao nhất là 60 mg/BN/ngày, liều dung thấp nhất là 20 mg/BN/ngày. Thời gian điều trị ổn định trung bình 5,12 ± 1,05 tháng. Thời gian điều trị trung bình của bệnh nhân trầm cảm nhẹ là thấp nhất 4,18 ± 1,07 tháng, ở bệnh nhân trầm cảm vừa là 5,54 ± 0,58 tháng, ở bệnh nhân trầm cảm nặng không loạn thần là 6 ± 0,00 tháng. Kết quả điều trị bằng thuốc cho thấy giảm tỉ lệ trầm cảm qua các thời điểm. Nghiên cứu cho thấy kết quả điều trị bằng thuốc ở bệnh nhân mắc trầm cảm cho thấy có sự thuyên giảm về mức độ trầm cảm khi đánh giá qua các thời điểm trong quá trình điều trị. **Kết luận:** Thời gian điều trị, số lượng thuốc và liều sử dụng thuốc chống trầm cảm ít ngắn hơn đối với trầm cảm mức độ nhẹ và vừa. Vì vậy, việc phát hiện sớm và điều trị kịp thời là rất cần thiết. Cần tổ chức đào tạo, tập huấn cho nhân viên y tế tại các tuyến chăm sóc sức khỏe ban đầu và các chuyên khoa liên quan các kiến thức và kỹ năng phát hiện sớm, đánh giá, và điều trị trầm cảm để quản lý và điều trị sớm cho bệnh nhân trầm cảm.

Từ khóa: Trầm cảm, kết quả điều trị.

SUMMARY

EVALUATING THE RESULTS OF DRUGS TREATMENT IN PATIENTS WITH DEPRESSION IN HUNG HA DISTRICT, THAI BINH PROVINCE IN 2021-2022

Depression is a common mental disorder that carries the most significant disease burden, causing the leading cost of health care in the world. In

**Bệnh viện Tâm thần Thái Bình*
Chịu trách nhiệm chính: Lê Minh Ngọc
Email: ngoclmnbvtttb@gmail.com
Ngày nhận bài: 22.3.2023
Ngày phản biện khoa học: 12.5.2023
Ngày duyệt bài: 25.5.2023